

上节课主要内容

互感	$M = \frac{\Phi_{21}}{I_1} = \frac{\Phi_{12}}{I_2}$	$M = \frac{\varepsilon_{21}}{dI_1/dt} = \frac{\varepsilon_{12}}{dI_2/dt}$
互感电动势	$\varepsilon_2 = \varepsilon_{21} = -\frac{d\Phi_{21}}{dt} = -M \frac{dI_1}{dt}$	$\varepsilon_1 = \varepsilon_{12} = -\frac{d\Phi_{12}}{dt} = -M \frac{dI_2}{dt}$
自感	$L = \frac{\Phi}{I}$	$L = -\frac{\varepsilon}{dI/dt}$
自感电动势	$\varepsilon = -\frac{d\Phi}{dt} = -L \frac{dI}{dt}$	

1

电感串联

$$L_{\text{顺}} = L_1 + L_2 + 2M$$

电感并联

$$L_{\text{同}} = \frac{L_1 L_2 - M^2}{L_1 + L_2 - 2M}$$

$$L_{\text{异}} = \frac{L_1 L_2 - M^2}{L_1 + L_2 + 2M}$$

2

§ 6.4 似稳电路和暂态过程

稳恒电路	由稳恒电源($\varepsilon = \text{Const}$)和电阻 R , 经导线连接而成 电流是稳恒的 $I = \text{Const}$
非稳恒电路	由非稳恒电源 $\varepsilon(t)$ 、电阻、电容 C 、电感 L 和互感 M 元件以及晶体管、电子管等组成 电流随时间缓慢变化 $I(t)$
似稳条件下	电路的基本方程与处理方法与稳恒电路类似
似稳电路	

3

§ 6.4.1 似稳过程与似稳电路

一、似稳条件和似稳电流

- 非稳恒的电流 $I(t) \rightarrow E(t), B(t) \dots$
- 欧姆定律的微分形式对非稳恒电流仍然成立, 即

$$\bar{j}(t) = \sigma \bar{E}(t)$$

E 是总电场 $\bar{E} = \bar{E}_{\text{静}} + \bar{E}_{\text{旋}} + \bar{K}$ K : 电源内部的非静电力

但基尔霍夫第一、第二定律不再适用, 电压概念有时也不再适用。

4

电场和磁场是以一定速度(光速 c)传播的

$$r_1 \neq r_2 \quad \Rightarrow \quad t_1 \neq t_2$$

$$\Delta t = (r_2 - r_1)/c$$

同一时刻电路上各点的场 E , 并非由同一时刻场源的电荷分布 $\rho(r)$ 和电流分布 $j(r)$ 确定。

非稳恒电流 $\bar{j}_1 \neq \bar{j}_2$

无分支电路

5

若 $\Delta t \ll T$ 电路对电源变化的响应时间可忽略

$$\Delta t = \frac{l}{c} \quad T = \frac{1}{f}$$

$$l \ll \frac{c}{f} = \lambda$$

似稳条件

T : 电场随时间变化周期, l : 电路尺寸
 $f=50\text{Hz}, \lambda=6\times10^6\text{m}$ 远大于一般电路的尺寸

- 电流 $I(t)$ 随电源电动势 $\varepsilon(t)$ 同步变化
- $E(t), B(t)$ 变化缓慢 \rightarrow 似稳场
- $I(t)$: 似稳电流

处理方法: 类比稳恒电流、稳恒电磁场

6

电路

电阻 R	$I(t) = \frac{\varepsilon(t)}{R}$
电感 L	$\varepsilon_L = -L \frac{dI(t)}{dt}$ 把感应电动势视为另一类电源电动势，似稳条件仍成立
电容 C	$I(t) = \frac{dQ(t)}{dt} = C \frac{dU(t)}{dt}$

电容器一端流入的电流等于从另一端流出的电流，外部电流连续。似稳条件也是成立的。

7

二、似稳电流与稳恒电流比较

- 对于似稳电流的瞬时值，有关直流电路的基本概念、电路定律都有效。
- 似稳电流与稳恒电流一样，任何时刻无分支的线路上各个截面的电流相等，电流线连续地通过导体内部，不会在导体的表面上终止。
- 它们以同样的方式激发磁场，可以用毕奥—萨伐尔定律计算磁场，服从安培环路定理。

8

- $I < c/f$ 时， $E(t)$ 看做随时间缓慢变化的“静态场”，在任何时刻，这种电场的旋度为零，因而仍然是一种有势场，不过是随时间变化的有势场。
- 但是，由于趋肤效应的存在，电流密度在导体截面上的分布并不均匀，导线表面的电流密度较大，导线中心处的电流密度则较小，这一点与稳恒电流是不同的。
- 但当似稳电流随时间变化比较缓慢、导线又比较细时，趋肤效应可以忽略。

9

§ 6.4.2 暂态过程

1. RL暂态过程

合上 a 点开关

$$IR = \varepsilon_L + \varepsilon \quad \varepsilon_L = -L \frac{dI}{dt}$$

设线圈内阻为零，电感为 L

$$IR = -L \frac{dI}{dt} + \varepsilon \quad \text{初始条件: } I|_{t=0} = 0$$

解为: $I = \frac{\varepsilon}{R} \left(1 - e^{-\frac{R}{L}t} \right)$

10

令 $\frac{\varepsilon}{R} = I_0$, $\frac{L}{R} = \tau$ $\rightarrow I = I_0 \left(1 - e^{-\frac{t}{\tau}} \right)$

当 $t \rightarrow \infty$, $I \rightarrow I_0$ 电感成了一根导线，稳恒电流

当 $t = \tau$, $I = I_0(1 - e^{-1}) = 0.63I_0$

τ 称回路的时间常数或弛豫时间。由回路的本身因数确定。一般 τ 只有几个 ms，所以称暂态过程。

电流随时间增加

11

合上 b 点开关

$$IR = \varepsilon_L = -L \frac{dI}{dt}$$

方程解为: $I = I_0 e^{-\frac{t}{\tau}}$

当 $t \rightarrow \infty$, $I \rightarrow 0$

当 $t = \tau$, $I = I_0 e^{-1} = 0.37I_0$

电流随时间衰减

12

2. RC暂态过程

合上a点开关 电容器充电

$$\frac{q}{C} + IR = \varepsilon \rightarrow \frac{q}{C} + R \frac{dq}{dt} = \varepsilon$$

初始条件 $q|_{t=0} = 0$

其中 $q_0 = C\varepsilon$

$$I = \frac{dq}{dt} = I_0 e^{-\frac{t}{\tau}}$$

$$\tau = RC$$

$$I_0 = \varepsilon / R$$

$q = q_0 \left(1 - e^{-\frac{t}{\tau}}\right)$ τ 为RC电路的时间常数

13

电容得到多少能量?

$$U_R = IR = \varepsilon e^{-\frac{t}{\tau}}$$

$$U_c = \frac{q}{C} = \frac{q_0}{C} \left(1 - e^{-\frac{t}{\tau}}\right)$$

$$q_0 = C\varepsilon$$

电源做功: $W_i = \int_0^\infty I(t)\varepsilon dt = \int_0^\infty \frac{\varepsilon^2}{R} e^{-\frac{t}{\tau}} dt = \frac{\varepsilon^2 \tau}{R} = C\varepsilon^2$ 与C有关 与R无关

对电阻做功: $W_R = \int_0^\infty I^2(t)R dt = \int_0^\infty \frac{\varepsilon^2}{R} e^{-\frac{2t}{\tau}} dt = \frac{\varepsilon^2 \tau}{2R} = \frac{C\varepsilon^2}{2}$ 与R无关

电容充电能量 $W_C = \int_0^\infty I(t)U_c(t) dt = \int_0^\infty \frac{\varepsilon^2}{R} \left(1 - e^{-\frac{t}{\tau}}\right) e^{-\frac{t}{\tau}} dt = \frac{C\varepsilon^2}{2}$

$\tau = RC$ R 与充电快慢 τ 有关

14

合上b点开关 电容器放电

$$\frac{q}{C} + IR = 0 \rightarrow \frac{q}{C} + R \frac{dq}{dt} = 0$$

初始条件 $q|_{t=0} = q_0 \rightarrow q = q_0 e^{-t/\tau}$

$$I = \frac{dq}{dt} = -I_0 e^{-t/\tau}$$

负值的意义是电流与图标定的方向相反

15

3. RCL暂态过程

合上a点开关

$$IR + \frac{q}{C} = \varepsilon_L + \varepsilon$$

$$\varepsilon_L = -L \frac{dI(t)}{dt}$$

$$I = dq/dt, dI/dt = d^2q/dt^2$$

令 $\beta = \frac{R}{2L}, \omega_0 = \frac{1}{\sqrt{LC}}, q_0 = C\varepsilon$

β 阻尼因子, ω_0 固有频率

$$\frac{d^2q}{dt^2} + 2\beta \frac{dq}{dt} + \omega_0^2 q = \omega_0^2 q_0$$

初始条件 $\begin{cases} q|_{t=0} = 0 \\ \frac{dq}{dt}|_{t=0} = 0 \end{cases}$

16

上面微分方程的解分三种情况:

欠阻尼($\beta < \omega_0$) $\beta = \frac{R}{2L}, \omega_0 = \frac{1}{\sqrt{LC}}$

$$q = q_0 - q_0 e^{-\beta t} (\cos \omega t + \frac{\beta}{\omega} \sin \omega t)$$

$$\omega = \sqrt{\omega_0^2 - \beta^2}$$
 q 随时间振荡变化, 称阻尼振荡解

过阻尼($\beta > \omega_0$)

$$q = q_0 - \frac{1}{2\gamma} q_0 e^{-\beta t} [(\beta + \gamma)e^{\gamma t} - (\beta - \gamma)e^{-\gamma t}]$$

q 随时间单调上升, 且 β 越大, 上升越慢. 当 $\beta \rightarrow \infty$ ($L \rightarrow 0$)时, 回到RC电路的结果.

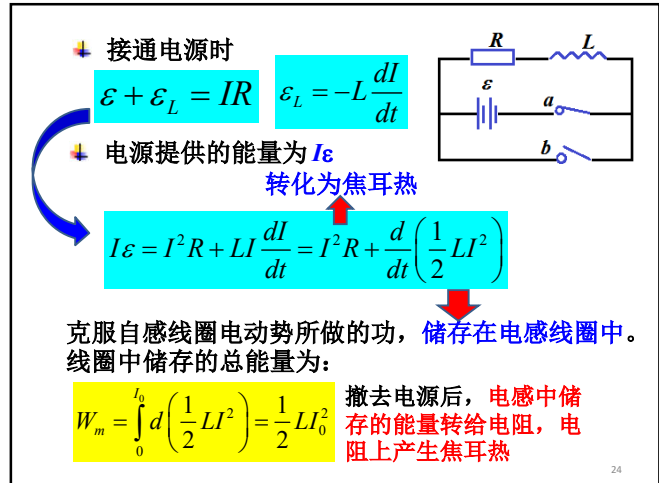
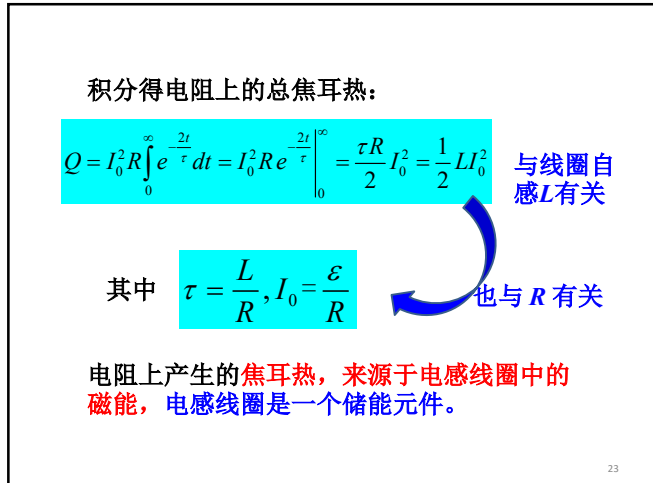
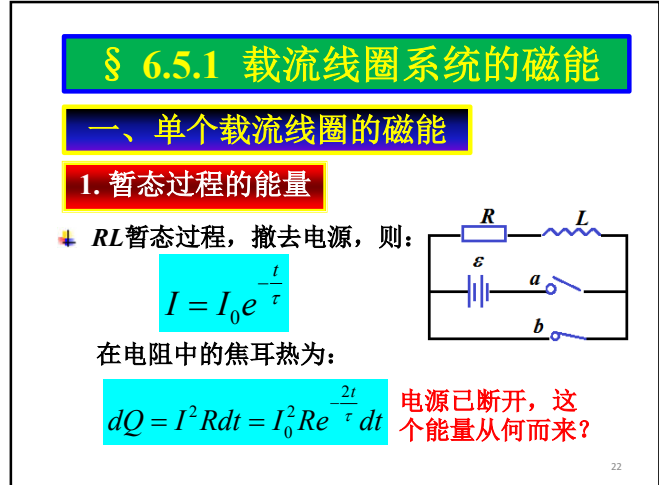
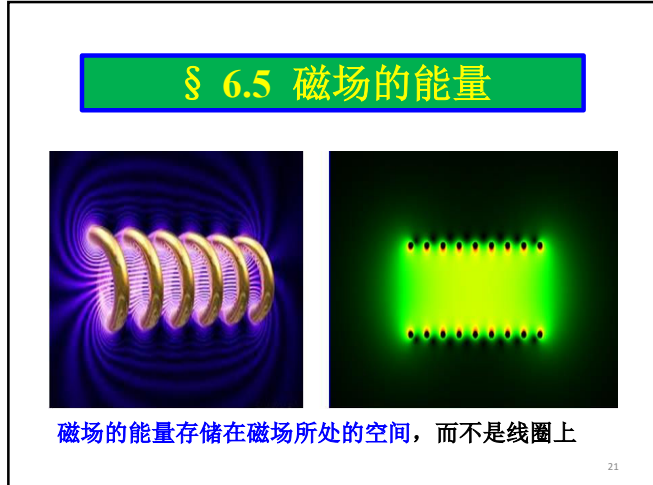
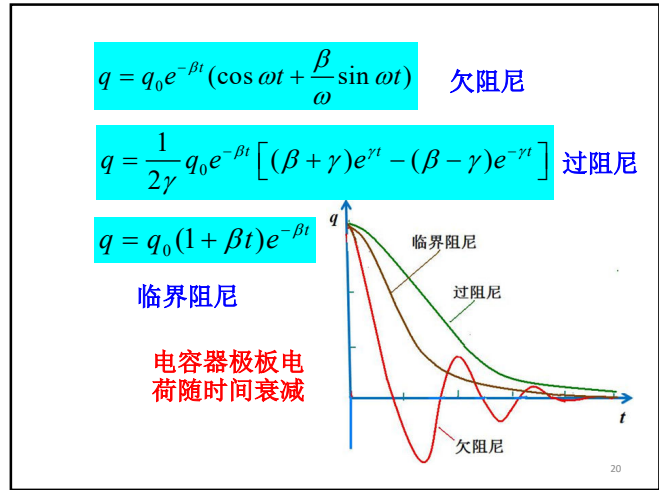
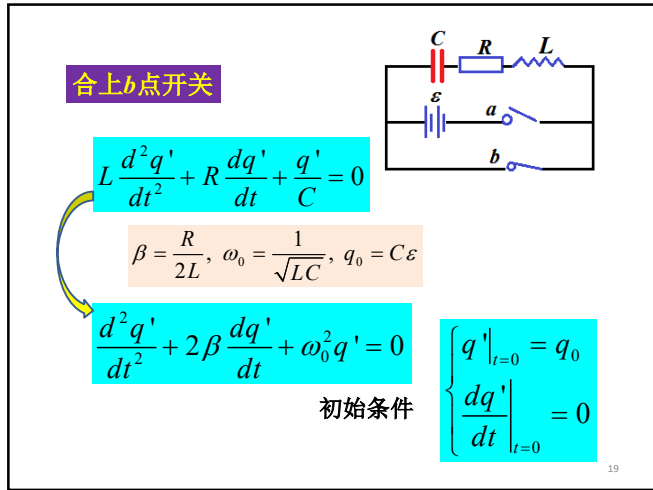
17

临界阻尼($\beta = \omega_0$)

$$q = q_0 - q_0 (1 + \beta t) e^{-\beta t}$$

q 也随时间单调上升, 但比过阻尼上升要快些

18



2. 互感线圈的磁能

- 当 L_1 和 L_2 单独存在时, 磁能为:

$$\begin{cases} W_{m1} = \frac{1}{2} L_1 I_1^2, & I_1 = \frac{\mathcal{E}_1}{R_1} \\ W_{m2} = \frac{1}{2} L_2 I_2^2, & I_2 = \frac{\mathcal{E}_2}{R_2} \end{cases}$$

由于 L_2 的存在, 在 L_1 回路中产生的互感电动势为:

$$\mathcal{E}_{12}' = M \frac{di_2}{dt} \quad \text{两边乘以 } I_1 dt \quad I_1 \mathcal{E}_{12}' dt = I_1 M di_2$$

当 i_2 从 $0 \rightarrow I_2$ 时, L_1 回路中由于 \mathcal{E}_{12}' 的存在具有的磁能

$$W_{m3} = \int_0^{I_2} I_1 M di_2 = MI_1 I_2$$

- 注意 L_1 和 L_2 之间的互感只有一个, 不必另外计算 I_1 在 L_2 回路中的磁能(可证明上式是两部分互感能之和)。
- 总磁能为:

$$\begin{cases} W_m = \frac{1}{2} L_1 I_1^2 + \frac{1}{2} L_2 I_2^2 + MI_1 I_2, & \text{顺接} \\ W_m = \frac{1}{2} L_1 I_1^2 + \frac{1}{2} L_2 I_2^2 - MI_1 I_2, & \text{反接} \end{cases}$$

也可以写成对称形式:

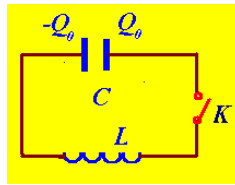
$$\begin{cases} W_m = \frac{1}{2} L_1 I_1^2 + \frac{1}{2} L_2 I_2^2 + \frac{1}{2} M_{12} I_1 I_2 + \frac{1}{2} M_{21} I_2 I_1, & \text{顺接} \\ W_m = \frac{1}{2} L_1 I_1^2 + \frac{1}{2} L_2 I_2^2 - \frac{1}{2} M_{12} I_1 I_2 - \frac{1}{2} M_{21} I_2 I_1, & \text{反接} \end{cases}$$

【例37】一电容 C 蓄有电量 Q_0 , 在 $t=0$ 时刻接通 K , 经自感为 L 的线圈放电, 求:
 (1) L 内磁场能量第一次等于 C 内电场能量的时刻 t_1 ;
 (2) L 内磁场能量第二次达到极大值的时刻 t_2 .

【解】

$$\mathcal{E} = -L \frac{dI}{dt} = \frac{Q}{C}$$

两边对 t 求导, 利用

$$I = \frac{dQ}{dt}$$


27

$I|_{t=0} = 0, Q|_{t=0} = Q_0 \rightarrow \begin{cases} I(t) = \frac{Q_0}{\sqrt{LC}} \sin\left(\frac{t}{\sqrt{LC}}\right) \\ Q(t) = Q_0 \cos\left(\frac{t}{\sqrt{LC}}\right) \end{cases}$

(1) 求 L 内磁能第一次等于 C 内电能的时刻:

$$\frac{1}{2} LI^2 = \frac{1}{2} \frac{Q^2}{C} \rightarrow \frac{1}{2} \frac{Q_0^2}{C} \sin^2\left(\frac{t}{\sqrt{LC}}\right) = \frac{1}{2} \frac{Q_0^2}{C} \cos^2\left(\frac{t}{\sqrt{LC}}\right)$$

$$t_1 = \frac{\pi}{4} \sqrt{LC}$$

28

(2) 求 L 内磁场能量第二次达到极大值的时间:

$$W_m = \frac{1}{2} LI^2 \quad I(t) = \frac{Q_0}{\sqrt{LC}} \sin\left(\frac{t}{\sqrt{LC}}\right)$$

$$W_m = \frac{1}{2} \frac{Q_0^2}{C} \sin^2\left(\frac{t}{\sqrt{LC}}\right)$$

$$\frac{t_2}{\sqrt{LC}} = \frac{3\pi}{2} \rightarrow t_2 = \frac{3\pi}{2} \sqrt{LC}$$

29

二、载流线圈系统的磁能

对每一个线圈来说, 总感应电动势是它本身自感电动势和其他 $n-1$ 个线圈间的互感电动势之和

$$\begin{aligned} \mathcal{E}_1 &= -L_{11} \frac{dI_1}{dt} - M_{12} \frac{dI_2}{dt} - M_{13} \frac{dI_3}{dt} - \cdots - M_{1n} \frac{dI_n}{dt} \\ \mathcal{E}_2 &= -M_{21} \frac{dI_1}{dt} - L_{22} \frac{dI_2}{dt} - M_{23} \frac{dI_3}{dt} - \cdots - M_{2n} \frac{dI_n}{dt} \\ &\vdots \\ \mathcal{E}_n &= -M_{n1} \frac{dI_1}{dt} - M_{n2} \frac{dI_2}{dt} - M_{n3} \frac{dI_3}{dt} - \cdots - L_{nn} \frac{dI_n}{dt} \end{aligned}$$

30

写成矩阵形式:

$$\begin{pmatrix} \mathcal{E}_1 \\ \mathcal{E}_2 \\ \vdots \\ \mathcal{E}_n \end{pmatrix} = - \begin{pmatrix} L_{11} & M_{12} & \cdots & M_{1n} \\ M_{21} & L_{22} & \cdots & M_{2n} \\ \vdots & & \ddots & \vdots \\ M_{n1} & M_{n2} & \cdots & L_{nn} \end{pmatrix} \begin{pmatrix} \frac{dI_1}{dt} \\ \frac{dI_2}{dt} \\ \vdots \\ \frac{dI_n}{dt} \end{pmatrix}$$

可以推出 $W_m = \frac{1}{2} \sum_{i=1}^n L_i I_i^2 + \frac{1}{2} \sum_{i,k=1}^{i \neq k} M_{ik} I_i I_k$

$M_{ii} = L_i$

多个线圈的磁能 $W_m = \frac{1}{2} \sum_{i=1}^n \sum_{k=1}^n M_{ik} I_i I_k$

31

第 k 个线圈中的电流产生的磁场, 穿过第 i 个线圈, 在第 i 个线圈中产生的磁通量为:

$$\Phi_{ik} = M_{ki} I_k = M_{ik} I_k$$

所有线圈在第 i 个线圈中产生的总磁通量为:

$$\Phi_i = \sum_{k=1}^N \Phi_{ik} = \sum_{k=1}^N M_{ik} I_k$$

则由:

$$W_m = \frac{1}{2} \sum_{i=1}^n \sum_{k=1}^n M_{ik} I_i I_k \quad \rightarrow \quad W_m = \frac{1}{2} \sum_{i=1}^n I_i \Phi_i$$

这是多个线圈磁能的另一种表达式

32

§ 6.5.2 载流线圈在外磁场中的磁能

一、互感磁能

- 两个线圈系统的磁能为

$$W_m = \frac{1}{2} L_1 I_1^2 + \frac{1}{2} L_2 I_2^2 + M I_1 I_2$$

自感磁能 互感磁能

- 互感磁能即为两个线圈之间的相互作用能

$$W_{互} = W_{12} = M_{21} I_1 I_2 = \Phi_{21} I_2 = I_2 \iint_{S_2} \bar{B}_1(\bar{r}_2) \cdot d\bar{S}$$

33

【例38】一无限长直导线和一长为 a 、宽为 b 的矩形线圈在同一平面内, 分别通电流 I_1 和 I_2 , 求它们的互感磁能。

【解】

$$W = MI_1 I_2 = \Phi_{21} I_2 = I_2 \iint_{S_2} \bar{B}_1 \cdot d\bar{S}$$

$$B_1 = \frac{\mu_0}{2\pi r} I_1 \quad dS = adr$$

$$W = I_2 \iint_{S_2} \frac{\mu_0 I_1}{2\pi r} \cdot dS = I_2 \int_d^{d+b} \frac{\mu_0 I_1}{2\pi r} adr = \frac{\mu_0 a I_1 I_2}{2\pi} \ln \frac{d+b}{d}$$

34

二、均匀外场(或非均匀外场中的小线圈)

- 单个线圈在外磁场 \bar{B} 中的磁能:

$$W_m = I \iint_S \bar{B}(\bar{r}) \cdot d\bar{S} = I \bar{B} \cdot \bar{S} = I \bar{S} \cdot \bar{B} \quad \rightarrow \quad W_m = \bar{\mu} \cdot \bar{B}$$

- N 个线圈在外磁场中的磁能: $W_m = \sum_{i=1}^N I_i \iint_{S_i} \bar{B}(\bar{r}) \cdot d\bar{S}$

若外磁场均匀, 则

$$W_m = \bar{B} \cdot \left(\sum_{i=1}^N I_i \bar{S}_i \right) = \sum_i \bar{\mu}_i \cdot \bar{B} = \bar{\mu} \cdot \bar{B} \quad \bar{\mu} = \sum_i \bar{\mu}_i$$

所以线圈在均匀外磁场中的磁能为 $W_m = \bar{\mu} \cdot \bar{B}$ $\bar{\mu}$ 为所有线圈磁矩的矢量和, 即总磁矩

35

§ 6.5.3 磁场的能量和磁能密度

以螺线管为例, 设螺线管长 l , 面积 S , 体积 V , 介质相对磁导率 μ_r

$$H = nI, \quad B = \mu_0 \mu_r nI \quad N = nl$$

螺线管的自感系数为

$$L = \Phi_m / I = NBS / I = \mu_0 \mu_r n^2 V$$

磁能 $W_m = \frac{1}{2} LI^2 = \frac{1}{2} V \mu_0 \mu_r n^2 I^2 \quad \rightarrow \quad W_m = \frac{1}{2} VBH$

磁能密度: 单位体积的磁能 $\omega_m = \frac{W_m}{V} = \frac{1}{2} \bar{B} \cdot \bar{H}$

磁场的能量是存储在磁场所处的空间的, 而不是在螺线管的线圈上

36

上式是普遍适用的，证明如下：

$$W_m = \frac{1}{2} LI^2 = \frac{1}{2} I\Phi_m I^2 = \frac{1}{2} I\Phi_m = \frac{1}{2} I \iint_S \bar{B} \cdot d\bar{S}$$

$$= \frac{1}{2} I \iint_S (\nabla \times \bar{A}) \cdot d\bar{S} = \frac{1}{2} I \oint_L \bar{A} \cdot d\bar{l} = \frac{1}{2} \oint_L \bar{A} \cdot I d\bar{l} = \frac{1}{2} \iiint_V \bar{A} \cdot \bar{j} dV$$


$$\because \bar{j} = \nabla \times \bar{H}, \therefore \bar{A} \cdot \bar{j} = \bar{A} \cdot (\nabla \times \bar{H})$$

$$W_m = \frac{1}{2} \iiint_V \bar{A} \cdot (\nabla \times \bar{H}) dV$$

$$\text{又} \because \nabla \cdot (\bar{a} \times \bar{b}) = \bar{b} \cdot (\nabla \times \bar{a}) - \bar{a} \cdot (\nabla \times \bar{b})$$

$$\therefore \bar{A} \cdot (\nabla \times \bar{H}) = \nabla \cdot (\bar{H} \times \bar{A}) + \bar{H} \cdot (\nabla \times \bar{A})$$

37

$$W_m = \frac{1}{2} \iiint_{\infty} \nabla \cdot (\bar{H} \times \bar{A}) dV + \frac{1}{2} \iiint_{\infty} \bar{H} \cdot (\nabla \times \bar{A}) dV$$

$$= \frac{1}{2} \iint_{S \rightarrow \infty} (\bar{H} \times \bar{A}) \cdot d\bar{S} + \frac{1}{2} \iiint_{\infty} \bar{H} \cdot \bar{B} dV$$

$$= \frac{1}{2} \iiint_V \bar{H} \cdot \bar{B} dV$$


$$\therefore R \rightarrow \infty, \iint_{\infty} (\bar{H} \times \bar{A}) \cdot d\bar{S} \sim \frac{1}{R^3} R^2 \rightarrow 0$$

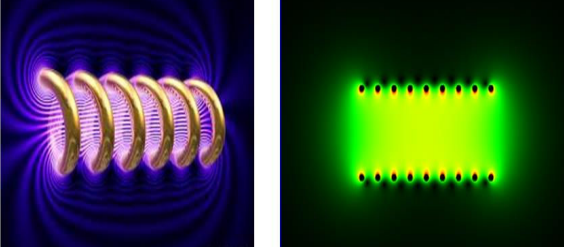
$$\bar{A} \sim \frac{1}{R}, \bar{H} \sim \frac{1}{R^2}, \Rightarrow \bar{H} \times \bar{A} \sim \frac{1}{R^3}$$

令 $\omega_m = \frac{1}{2} \bar{B} \cdot \bar{H}$ 为磁能密度

磁场存储在空间的总能量为： $W_m = \iiint_V \omega_m dV = \frac{1}{2} \iiint_V \bar{B} \cdot \bar{H} dV$

该式普遍适用

38



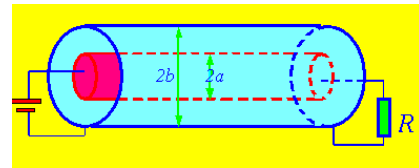
通电螺线管中的磁场和能量分布模拟示意图
螺线管中间很亮，表示能量密度大

39

【例39】一同轴电缆，由半径为 a 的长直导线和半径为 b 的薄圆筒构成，两者间充满介电常数为 ϵ ，磁导率为 μ 的介质，两者之间加一负载 R 和电源时，证明当

$$R = \frac{1}{2\pi} \sqrt{\frac{\mu}{\epsilon}} \ln \frac{b}{a}$$

则导线与圆筒之间的电场能量等于磁场能量。

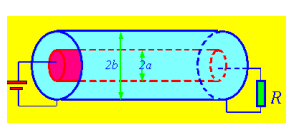


40

【解】先求电场能量，设单位长直导线的电荷密度为 λ ，用有介质时的高斯定理，作柱形高斯面(电场垂直于导线)：

$$\iint_S \bar{D} \cdot d\bar{S} = \sum_{\text{柱内}} q_0 \quad 0 + 0 + D \cdot 2\pi r l = \lambda l \quad E = \frac{D}{\epsilon} = \frac{\lambda}{2\pi\epsilon r}$$

$$U = \int_a^b \bar{E} \cdot d\bar{l} = \frac{\lambda}{2\pi\epsilon} \ln \frac{b}{a} \quad \lambda = \frac{2\pi\epsilon}{\ln(b/a)} U \quad E = \frac{1}{r} \frac{U}{\ln(b/a)}$$

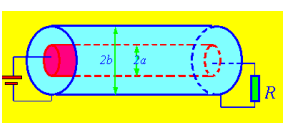
$$\omega_e = \frac{1}{2} \epsilon E^2 = \frac{\epsilon}{2} \frac{U^2}{r^2 (\ln \frac{b}{a})^2}$$


41

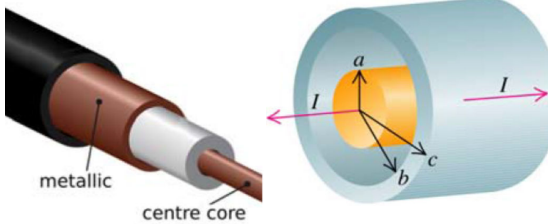
再求磁场能量 $H = \frac{I}{2\pi r} = \frac{1}{2\pi r} \frac{U}{R} \quad B = \mu H$

$$\omega_m = \frac{1}{2} BH = \frac{1}{2} \mu H^2 = \frac{\mu}{2} \frac{U^2}{(2\pi R r)^2}$$

电场能量=磁场能量 $\omega_e V = \omega_m V$

$$\mu \frac{U^2}{(2\pi R r)^2} = \epsilon \frac{U^2}{r^2 (\ln \frac{b}{a})^2} \rightarrow R = \frac{1}{2\pi} \sqrt{\frac{\mu}{\epsilon}} \ln \frac{b}{a}$$


【例40】一个同轴电缆，中心是半径为 a 的实心导线，外部是内半径为 b 、外半径为 c 的导体圆筒，内外导体之间充满相对磁导率为 μ_r 的介质，电流在内外筒中等大、反向且均匀分布，求该电缆单位长度上的自感。



43

【解】由 $W_m = LI^2/2$ 求自感，分4个区分别计算磁能

(1) 实心导线内 $0 \leq r \leq a$, 无磁介质, $\mu_r=1$

$$\oint_L \bar{H} \cdot d\bar{l} = \sum I_0 \quad H_1 = \frac{1}{2\pi r} \left(\frac{I}{\pi a^2} \right) \pi r^2 = \frac{Ir}{2\pi a^2} \quad B_1 = \mu_0 H_1$$

$$\text{磁能密度 } \omega_{m1} = \frac{1}{2} \bar{B}_1 \cdot \bar{H}_1 = \frac{\mu_0 I^2 r^2}{8\pi^2 a^4}$$

此区域内的磁能:

$$W_{m1} = \iiint_{V_1} \omega_{m1} dV = \int_0^l \int_a^b \int_0^{2\pi} \omega_{m1} r d\phi dr dz = \frac{\mu_0 l}{16\pi} I^2$$

44

(2) 两圆筒间 $a \leq r \leq b$, 有磁介质 μ_r

$$H_2 = \frac{I}{2\pi r} \quad B_2 = \mu_0 \mu_r H_2 = \mu_0 \mu_r \frac{I}{2\pi r}$$

磁能密度

$$\omega_{m2} = \frac{1}{2} \bar{B}_2 \cdot \bar{H}_2 = \frac{\mu_0 \mu_r I^2}{8\pi^2 r^2}$$

此区域内的磁能:

$$W_{m2} = \iiint_{V_2} \omega_{m2} dV = \int_0^l \int_a^b \int_0^{2\pi} \omega_{m2} r d\phi dr dz = \frac{\mu_0 \mu_r}{4\pi} I^2 \ln\left(\frac{b}{a}\right)$$

45

(3) 外圆筒 $b \leq r \leq c$, 无磁介质, $\mu_r=1$

$$\text{穿过半径为 } r \text{ 的环路的总电流为: } \sum I = I - \frac{\pi(r^2 - b^2)}{\pi(c^2 - b^2)} I = \frac{c^2 - r^2}{c^2 - b^2} I$$

$$H_3 = \frac{1}{2\pi r} \left(\frac{c^2 - r^2}{c^2 - b^2} \right) I \quad B_3 = \mu_0 H_3$$

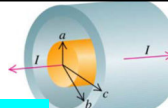
$$\omega_{m3} = \frac{1}{2} \bar{B}_3 \cdot \bar{H}_3 = \frac{\mu_0 I^2}{8\pi^2 (c^2 - b^2)^2} \left(\frac{c^4}{r^2} - 2c^2 + r^2 \right)$$

$$W_{m3} = \int_0^l \int_b^c \int_0^{2\pi} \omega_{m3} r d\phi dr dz \\ = \frac{\mu_0 I^2}{4\pi (c^2 - b^2)^2} \left(c^4 \ln\left(\frac{c}{b}\right) - \frac{1}{4} (c^2 - b^2)(3c^2 - b^2) \right)$$

46

(4) 圆筒外 $r > c$, 真空区域, $\mu_r=1$

$$\text{总电流 } \sum I = I - I = 0 \quad H_4 = 0 \quad W_{m4} = 0$$



同轴电缆的总磁能为:

$$W_m = W_{m1} + W_{m2} + W_{m3} + W_{m4} = \frac{1}{2} L I^2 \quad L = \frac{2W_m}{I^2}$$

$$\text{单位长度的自感为: } L_0 = \frac{L}{l} = \frac{2W_m}{l I^2} = \frac{\mu_0}{2\pi} \left[\frac{1}{4} + \mu_r \ln\left(\frac{b}{a}\right) + \frac{1}{(c^2 - b^2)^2} \left(c^4 \ln\left(\frac{c}{b}\right) - \frac{1}{4} (c^2 - b^2)(3c^2 - b^2) \right) \right]$$

$$\text{若 } a = R_1, b = c = R_2, \mu_r = 1 \quad L_0 = \frac{\mu_0}{2\pi} \left(\frac{1}{4} + \ln\left(\frac{R_2}{R_1}\right) \right) \text{ 与例35一致}$$

47

自感系数的计算

方法A: 当载有电流 I 的导体(或回路)产生的磁感强度 B 是对称性分布时, 磁场能密度 ω 这时也呈对称性, 通过积分可以简便地求得整个磁场所具有的总磁能, 由总磁能再推算自感系数。

$$L = \frac{2W_m}{I^2}$$

不会出错的解法

48

方法B：电流 I 通过线圈(回路)，能准确分析线圈回路所包围的范围内，由此电流形成的磁场的空间分布，计算磁场穿过自身回路的总磁通或磁通链数。这种方法只适合有规则的、简单的线圈回路。

$$L = \frac{\Phi}{I}$$

可能会出错的解法

- “回路”，要求这一回路还是单一的，没有与其他回路发生交链。
- “电流” I ，通常是指线圈之间彼此串接、并且无漏磁的前提下线圈中的电流。

49

方法C：当在回路中通以已知变化率的电流 (di/dt)，能准确测出回路中的感应电动势 ε_L 时，可采用测量方法计算 L ，所以这一方法一般适用于工程中。

$$L = -\frac{\varepsilon}{di/dt}$$

50

§ 6.6 非线性介质及磁滞损耗

1. 磁介质存在时的自感和感应电动势

同一载流线圈，在真空中与在介质中产生的磁场是不同的，因而磁能与磁介质有关。

存在磁介质时，自感与互感电动势仍定义为：

$$\varepsilon_1 = -L_1 \frac{dI_1}{dt}, \quad \varepsilon_{12} = -M \frac{dI_2}{dt}$$

介质的存在对磁场的影响反映在自感和互感系数中
无限长螺线管中
充满磁介质时： $\omega_m = \frac{W_m}{V} = \frac{1}{2} BH = \frac{1}{2} \mu_0 \mu_r n^2 I^2$

$$L = 2W_m / I^2 \rightarrow L = \mu_0 \mu_r n^2 V \quad \text{是无介质存在时的 } \mu_r \text{ 倍}$$

51

2. 线性介质的磁能密度和磁化功

$$N \text{ 匝线圈总磁通的变化} \quad d\Psi = Nd\Phi = NSdB$$

电源克服感应电动势所做的功：

$$dA' = -\varepsilon Idt = \frac{d\Psi}{dt} Idt = Id\Psi = NSIdB$$

$$\text{由 } \oint_L \bar{H} \cdot d\bar{l} = Hl = NI \rightarrow I = \frac{Hl}{N}$$

$$\therefore dA' = VHdB$$

52

单位体积内电源做的元功

$$da' = \frac{dA'}{V} = HdB = \bar{H} \cdot d\bar{B}$$

$$\therefore \bar{B} = \mu_0(\bar{H} + \bar{M})$$

$$\therefore da' = d\left(\frac{1}{2} \mu_0 H^2\right) + \mu_0 \bar{H} \cdot d\bar{M}$$

宏观磁能密度

磁化功

电源所做的功一部分用来增加宏观磁能，另一部分为对介质做的磁化功。

53

3. 线性无损耗介质

$$M_i = \sum_{j=1}^3 \chi_{ij} H_j \quad \chi_{ij} = \chi_{ji} \quad d(\bar{M} \cdot \bar{H}) = \bar{M} \cdot d\bar{H} + \bar{H} \cdot d\bar{M}$$

对各向同性介质可证明：

$$\bar{H} \cdot d\bar{M} = \bar{M} \cdot d\bar{H} \quad \text{则} \quad \mu_0 \bar{H} \cdot d\bar{M} = d\left(\frac{\mu_0}{2} \bar{M} \cdot \bar{H}\right)$$

$$\bar{B} = \mu_0(\bar{H} + \bar{M})$$

磁化能密度

$$\therefore da' = d\left(\frac{\mu_0}{2} H^2 + \frac{\mu_0}{2} \bar{H} \cdot \bar{M}\right) = d\left(\frac{1}{2} \bar{B} \cdot \bar{H}\right) = d\omega_m$$

电源做功全部转化为螺线管的磁能

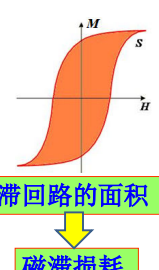
$$\omega_m = \frac{1}{2} \bar{B} \cdot \bar{H} = \frac{1}{2} \mu_0 H^2 + \frac{1}{2} \mu_0 \bar{H} \cdot \bar{M}$$

54

4. 非线性磁介质的磁滞损耗

非线性磁介质的磁滞回路显示 H 与 M 的非线性关系

一个周期内所做的功为:

$$A' = \oint_L dA' = \oint_L \mu_0 H dM =$$


磁滞回路的面积
↓
磁滞损耗

这部分功不改变磁场强度 H 和介质的磁化状态 (磁化强度) M , 它所传递的能量将转化为热量

55

